

Pb 和 Al 中产生的中性超子与重介子*

呂 敏 郑仁圻 李鶴年

(中国科学院原子能研究所)

提 要

从 1955 年到 1957 年用多板云室进行了兩次 V^0 粒子实验，共得 V^0 约 550 个。按 $\alpha-\epsilon$ 方法分类为 A^0 的 67 个，为 θ^0 的 44 个。其中产生于 Pb 板的 A^0 58 个、 θ^0 38 个；产生于 Al 板的 A^0 9 个、 θ^0 6 个。对这些 V^0 粒子进行分析，得到下列結果。

1. A^0 、 θ^0 衰变时质量中心系中衰变角均匀分布，产生面与衰变面的关联角均匀分布，无自旋 $>1/2$ 的跡象。
2. 对 Pb 核中出来的 A^0 衰变看不出因宇称不守恆引起的不对称角分布。Al 中产生的 A^0 有不对称的倾向。
3. 由动量分布和产生角分布看，在产生重介子与超子对时超子多向后去。
4. 得平均寿命 $\bar{\tau}_{A^0} = (3.39^{+0.63}_{-0.44}) \times 10^{-10}$ 秒， $\bar{\tau}_{\theta^0} = (0.86^{+0.26}_{-0.16}) \times 10^{-10}$ 秒。
5. $N(A^0)/N(\theta^0) \sim 1.4$ 。
6. 估計整个奇異粒子产生截面可合 $0.8 mb/\text{核子}$ ，对 Pb, Al 都合。
7. 按 V^0 佔次粒子总数比例看，Pb 原子核对产生 V^0 来講比 Al 原子核有效。

引 言

自从 1947 年到 1950 年发现了中性不稳定重粒子以后，許多宇宙線工作組都努力来探索新基本粒子的性質。1954 年底，我們在落雪高山實驗室(3185 m)安裝了一個多板云室。自 1955 年 4 月至 11 月进行了第一次中性奇異粒子實驗，共拍照片約 35000 对；得 V^0 照片共約 220 对，其中从 Pb 板中产生适于測量分析并且已經分类的 V^0 31 个。这些数据称为甲組数据，其中几个特例已經分別发表^[1]。

1954 年以后陸續有在高能加速器上工作的實驗組发表关于 V^0 粒子的工作。对于某些基本性質如質量、寿命、衰变方式等都得到了相当肯定的結論，但是到 1956 年初为止，关于 V^0 粒子的产生機構等問題还只有极少数据。关于产生面与衰变面关联角分布等数据則結果分歧[見第三节(1)]。因此我們在 1956 年初决定进行第二次實驗。在云室中放 Pb、Al 兩种板子，專門选择板中产生的 V^0 粒子进行研究，希望得到一些有关产生機構的数据；特别是对輕物質、重物質进行比較。从 1956 年 8 月至 1957 年 6 月共拍照片約 40000 对，得到 V^0 粒子 329 个；其中适合于測量分析并且已經进行分类的 V^0 共 89 个。这批数据称为乙組数据。

最近兩年来，关于 V^0 粒子的研究工作有了很大进展，加速器工作进步特別大。用 γ

* 1959 年 1 月 23 日收到。

泡室进行了大量关于产生 V^0 粒子的工作^[21]，得到了许多重要的结果。不过还有许多问题，如轻物质与重物质中产生 V^0 的不同性质等问题实验数据还不多。现把我们所得的结果写在第三节中，并尽可能地与其他工作进行了比较。我们的结果列于表 1。

表 1 V^0 数目统计[参看第二节(5)]

	照片对数	V^0 总数	产生于云室外面或产生点不清的 V^0	云室内金属板中产生的 V^0	A^0	θ^0	V^0 成对出现
甲组数据	35000	约 220	约 120	Pb 约 100	21	10	4
乙组数据	40000	329	198	{ Pb 107 Al 24 }	37	28	4

一. 实验安排

多板云室大小为 $50 \text{ cm} \times 50 \text{ cm} \times 28 \text{ cm}$ 。在实验过程中，云室上面的铅层 T 为 10 或 15 cm。计数管选择系统分 A, B, C 三排。选择方法为 $A \geq 1 + B \geq 3 - C$ ，即 A 排计数管中至少一个放电，同时 B 排至少三个放电，而 C 排没有计数管放电。 C 排计数管距云室约 1.5 m。每小时照相约 8 对，每天约 200 对。其中有核作用径迹的照片约佔 $1/4$ 。有效工作一天平均可得 V^0 粒子约 1.5 个。

第一次实验中（甲组数据），云室内放七块 Pb 板，一部分时间用每块 0.63 cm 厚的铅板，大部分时间用 1.2 cm Pb 板。云室照明宽度为 13 cm。

第二次实验中（乙组数据），云室内放七块金属板，Pb 板与 Al 板交错放置。大部分时间为四块 Pb 板三块 Al 板，也有一部分时间为四块 Al 板，三块 Pb 板。Pb 板厚 1.2 cm，合 13.6 gm/cm^2 。Al 板厚 1.27 cm，合 3.4 gm/cm^2 。照明宽度为 16 cm。

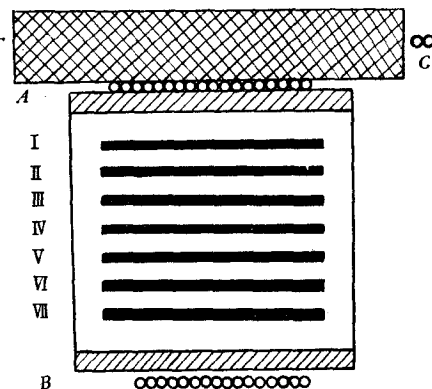


图 1 云室及计数管选择系统

二. 测量、分析及基本数据

(1) 选择事例 用多板云室工作时，粒子的质量难于确定，动量难于测量，只能由射程游离比进行估计。对每一个 V^0 事例不能求出其衰变 Q 值。到目前为止，最有效的方法是用 $\alpha \cdot \epsilon$ 的办法对 V^0 进行分类，并求出其动量^[22]。只有产生 V^0 的核作用源点可以确定时 $\alpha \cdot \epsilon$ 才能应用。因此我们专门选择产生于 Pb 或 Al 板中，并且在云室内衰变的 V^0 进行测量分析。 V^0 是否产生于某个核作用，由共面性决定，不共面角太大的事例不进行计算，选出来的结果见表 1。讨论不同的问题，选择事例的条件略有不同，分别在第三节各段补充。

(2) 角度测量 甲组数据的测量采取了分别测量左右片子的方法。测出左、右二片上各径迹的 x, y 坐标。用解析几何方法求出在立体空间中各径迹的方向余弦，并求出各

种角度、長度。所用方法近似萊頓等所用方法^[5]。这种方法在原理上比較精确，但計算手續繁复，容易发生錯誤；实际应用时誤差并不小。我們曾經在一平板上画了 $30^\circ, 60^\circ, 90^\circ$ 三种角度。把平板放在云室里悬掛于五种不同的方向，拍攝各个方向的照片；測量左右片子上的假徑跡，計算其交角，所得的五种結果互相不同。最大可以差到 1° 。估計发生誤差的主要原因在于測量坐标时不够准确，而左右兩片子的参考点位置（即 x, y 軸方向）的誤差影响尤其大。

乙組数据所用的方法不同。为了提高測量效率，我們設計制造了一架立体投射仪。用灯光將照片上的徑跡投射到幕屏上去，用重合徑跡的方法求立体位置。对每个 V^0 事例測量了 V^0 飛行線与二衰变分枝徑跡所夾的角度 φ_1 及 φ_2 ，产生面与衰变面关联角 ψ ，产生角 θ ，不共面角 δ 。

測量得到的角度也并不准确。測量上述平板上画的假徑跡得到的結果也不相同。由不同方向的照片所得角度互相可差 1° 以上，在特殊情况下，两个方向測得的角度差达 2° 。我們在每測一次 V^0 分角时都估計了一下誤差，一般在 $1\text{--}3^\circ$ 之間。

估計发生誤差的主要原因一方面是徑跡不够細，不容易对重合；另一方面是底片收縮特別是投影时在强光照射下发热收縮。

有些产生 V^0 的核作用是由中性粒子引起的，在这种情形下， ψ, θ 都比較難定；初級粒子的方向只能由此核作用中的簇射粒子方向（或估計簇射軸）判断；或由云室上面发生的初級簇射方向判断。这样誤差就大。因此一部分 V^0 的 ψ, θ 角沒有統計到数据中去。統計了的数据誤差估計不会超过 10° 。

(3) 分析方法 用 $\alpha-\epsilon$ 方法进行分析。把 A^0, θ^0 分出来，并求出它們的动量及在質量中心系中的衰变角度。

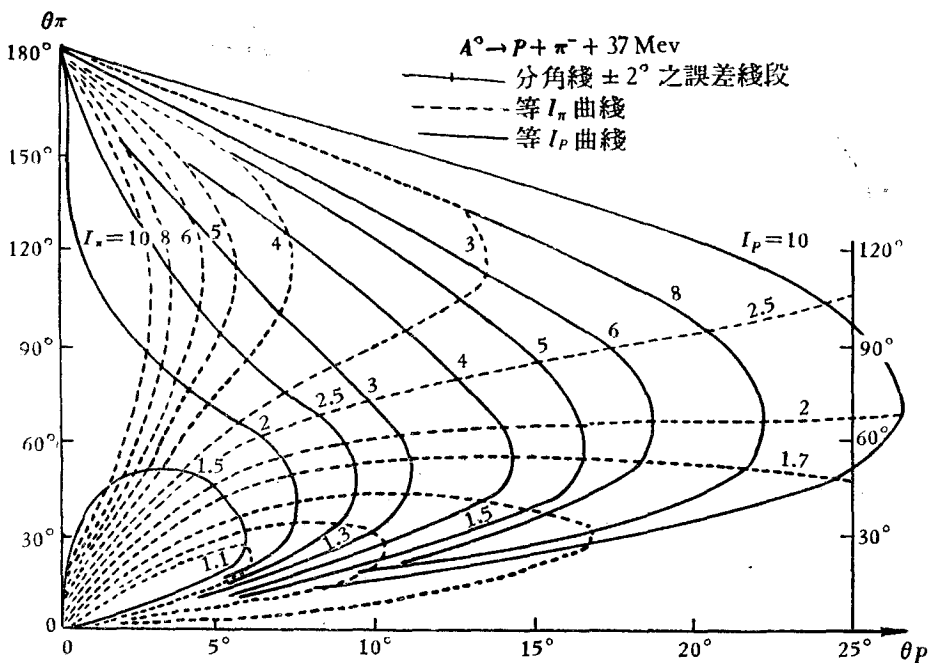


图2 A^0 衰变时在實驗室中的等 I_P , 等 I_π 曲綫

用 $\alpha-\epsilon$ 方法进行分类时誤差不易估計^[2]。很难用公式計算，因为其中有一个步驟是作图，量長度。但是不知道誤差又較難判断如此分类是否保証不出錯。为了避免錯誤，我們特地繪制了兩套曲綫（見图 2 和图 3）。

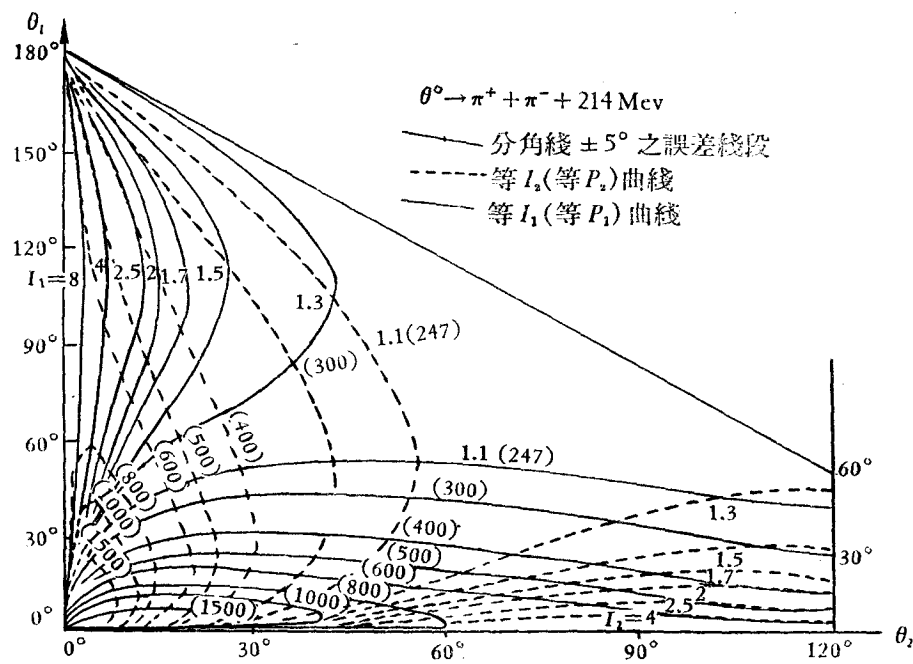


图 3 θ^0 衰变时在实验室中的等 I_1 (等 P_1)，等 I_2 (等 P_2) 曲綫

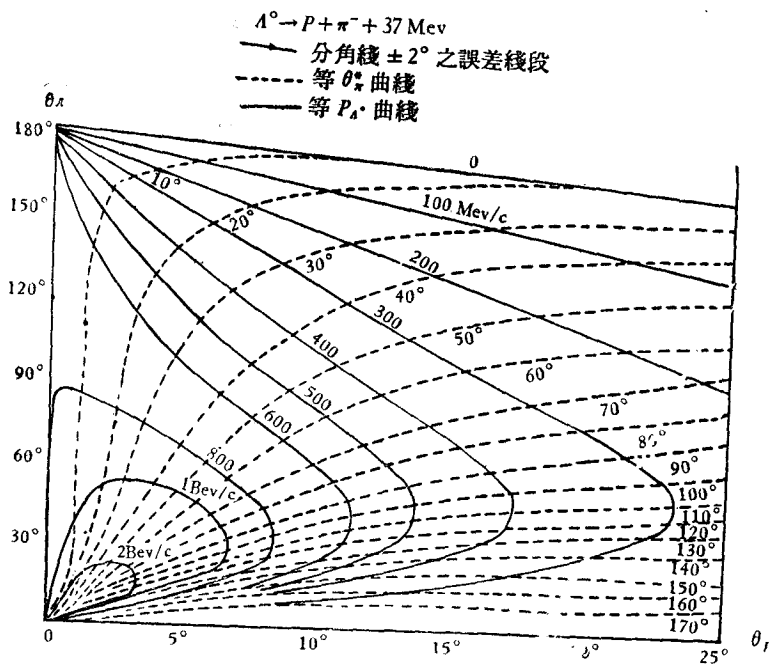
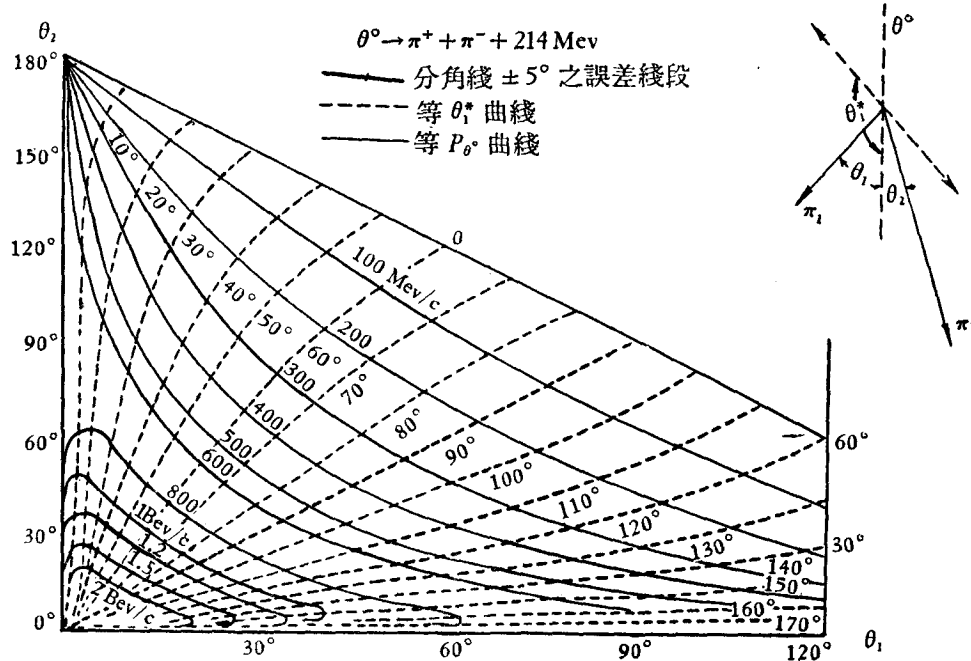
图 2, 3 是用实验室观察到的 V^0 衰变徑跡与用 V^0 方向的夾角为坐标。画出不同的等 I_P ，等 I_x 曲綫（或等 I_{π_1} ，等 I_{π_2} ）曲綫。由测量出来的分角度可以查出相应的游离比，并且角度测量的誤差求出相应游离比可能变动的范围（參看表 2）。

表 2 对 V^0 粒子进行分类的方法：三个实例

号碼	产生点位置				若为 A^0 计算出游离		若为 θ^0 计算出游离		实验估計		分类	不共面角 δ
	板数	物質	φ_1	φ_2	I_1	I_2	I_1	I_2	I_1	I_2		
68947	V	Pb	15.1±1	39.0±1	1.5-1.6	1.5-5.5	1	1	1	1	θ^0	$0\pm2.5^\circ$
81237	VI	Pb	24.1±2	34.2±2	7.5-10	2	1	1.2-1.35	8.2-4	4	A^0	$2.5\pm2.5^\circ$
83741	III	Al	6.3±1	27.6±1	1.4-1.8	1.2	1	1.2-1.5	1	1.5	不能分类	$3\pm3^\circ$
												A^0, θ^0 都可能

为了估計 V^0 粒子动量誤差及質量中心系中的衰变角誤差，我們又繪制了图 4, 图 5。仍以分角度为坐标，画等 P_{A^0} （或 P_{θ^0} ）綫及等 θ_π^* （或 θ_1^* ）曲綫。分角度測量誤差可以以一誤差綫段表示，由外差法可推出 P_{A^0} （或 P_{θ^0} ）及 θ_π^* （或 θ_1^* ）的可見誤差。不过在以后的实验結果討論中并未把这些誤差計算进去，因为計算手續过于繁复。

(4) 潛長及可見几率 V^0 粒子并不都在云室的可見区域衰变，因此必須进行可見几率修正，并测量每个 V^0 粒子的潛長^[2]。

图 4 A^0 衰变时的等 θ_{π}^* 及等 p_{π^*} 曲线图 5 θ^0 衰变时的等 θ_1^* 及等 $p_{\theta_1^*}$ 曲线

按照实验条件，取金属板的上边以上 0.5 cm、金属板下边以下 0.3 cm 之间的范围为可见区域。 V^0 粒子在此区域以外衰变者一律不统计进数据去。而且 V^0 衰变后径迹必须大于 1 cm，否则不计算。我们按上述条件测量了每个 V^0 事例的潜长， T_i, T'_i ；(T_i, T'_i 代表 ST_i 及 ST'_i 的距离)如图 6。计算时用公式：可见几率 $w = e^{-L'_i/x} - e^{-L_i/x} + e^{-L'_i/x} -$

$-e^{-L_{\text{生}}/a}$, 其中 $a = \tau P_{V^0} / M_{V^0 c}$. τ 为 V^0 粒子的平均寿命. M_A 取 1115 Mev, M_θ 取 494 Mev. $L'_1 = T'_1 + 0.3$ cm, $L'_2 = T'_2 + 0.3$ cm, ……. $L_2 = T_2 - 0.5$ cm, ……. $L_{\text{生}} = T_{\text{生}} - 1.0$ cm. 計算出的 w 一般都在 0.6—0.3 范圍內 [參看第三節(4)].

在統計数据需要修正时, 每一事例相当 $\frac{1}{w}$ 個計算. 我們采用了一種典型的几何位置, 計算了不同动量的 Λ^0 及 θ^0 的可見几率. 結果如圖 15.

(5) 基本数据 V^0 数目的統計見表 1. 由表 1 可見, 真正选用的数据只佔 V^0 总数的一小部分; 甲組数据中比例尤其小. 在測量甲組数据时只选用了一些易于測量的照片 (如能量較低, 衰变后衰变分枝游离比較大者, V^0 夾角較大者). 估計在沒有測量分析的照片中还有一些可以进行分类. 显然这样选择会有一定偏見. 因此在一些統計性結果中沒有考慮这部分数据 (如产生动量譜、角分布; Λ^0 、 θ^0 数目比較等).

在处理乙組数据中注意了这个問題, 尽量避免偏見. 在云室中产生的 V^0 中除已分类 (見表 1) 的 V^0 外, 尚有大量未分类的 V^0 . 未分类的 V^0 包括: (i) 一部分由 $\alpha-\epsilon$ 方法不能进行分类的事例 (Λ^0 、 θ^0 都可能, 見表 2); (ii) 一部分按运动学不合 Λ^0 也不合 θ^0 者; (iii) 一些小角度测不准的事例 (我們只選擇总角度大于 15° 的事例进行測量); (iv) 一些因为几何形狀对測量极为不利的事例 (例如: 当一个衰变分枝运动方向几乎垂直于云室面时, 徑跡粗而短, 很難測准) [參看第三節(6)]. 我們相信, 这种选择方法不致于产生大的偏見, 可以采用这样选择出来的数据进行各种統計分析.

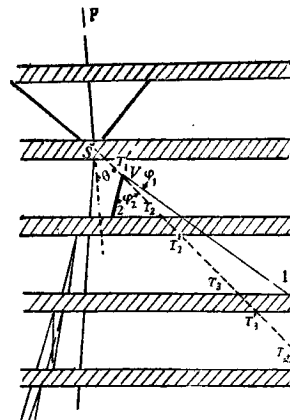


图 6 一个 V^0 事例的素描图.
标明测量潜是在各个位置

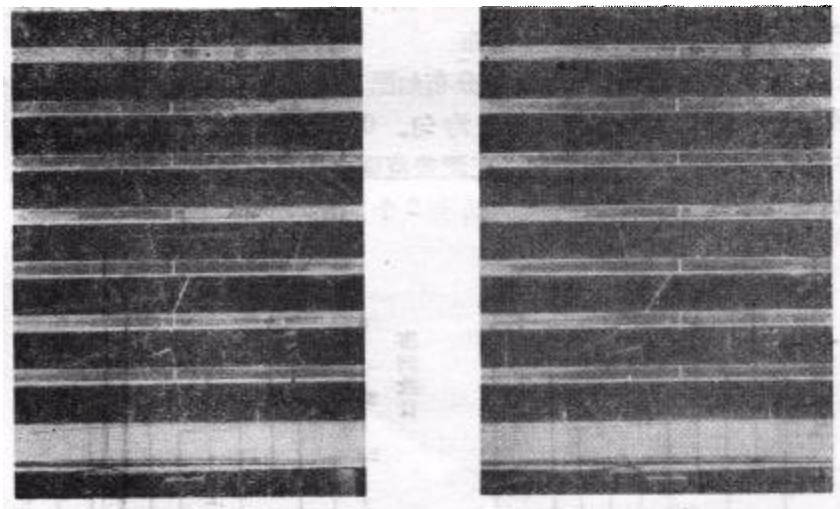


图 7 一个有成对 V^0 出現的实例. 靠上的一个为 θ^0 , 靠下的一个为 Λ^0 . 产生这一对 V^0 粒子的核作用不大. 除 V^0 外只有一支强游离次粒子

三. 實驗結果及討論

(1) 衰变角分布 假如超子或重介子的自旋 $> \frac{1}{2}$, 而且产生时在 V^0 运动方向极化,

則質量中心系中衰变角度將不是均匀分布。若在产生面极化，則产生面与衰变面应有角关联。这两种角分布不必加可見几率修正。

(i) 質量中心系衰变角 θ^* 分布

A^0 : 由 Pb 中产生的 56 个 A^0 粒子(甲、乙兩組数据)衰变角分布均匀。質子向前的 29 个，向后的 27 个，其分布見图 8。

9 个由 Al 板中产生的 A^0 衰变中，4 个質子向前，3 个質子向后，2 个在 90° 附近 (3° 以内)，沒有显著的不均匀現象。

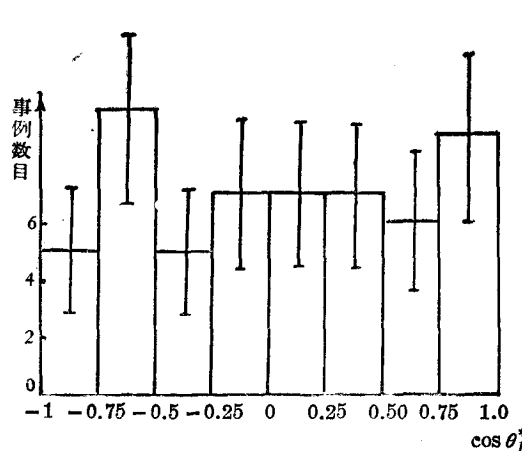


图 8 A^0 衰变的角分布

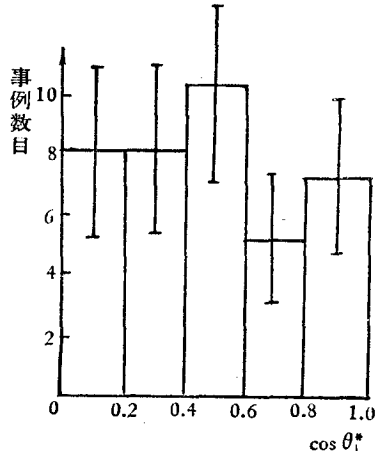


图 9 A^0 衰变的角分布

θ^0 : 由 Pb 板中产生的 38 个 θ^0 (甲乙二組数据) 的衰变角分布看来，角分布均匀(見图 9)。Al 中产生的 θ^0 衰变时質子在 $0-60^\circ$ 三个， $60-90^\circ$ 三个也合于均匀角分布。

(ii) 产生面与衰变面的角关联 ψ 分布

A^0 : 由 Pb 板中产生的 47 个 A^0 所得分布如图 10 (甲、乙二組数据，有一部分 ψ 角不能量的数据取消了。) 关联角分布不完全均匀。 $0-30^\circ$ 19 个， $30-60^\circ$ 12 个， $60-90^\circ$ 16 个；但并无显著可見的不均匀傾向。在誤差範圍之内可以当作均匀分布看待。

Al 中出的 8 个 A^0 中， ψ 在 $0-30^\circ$ 間有 2 个，在 $30-60^\circ$ 間 2 个， $60-90^\circ$ 間 4 个；

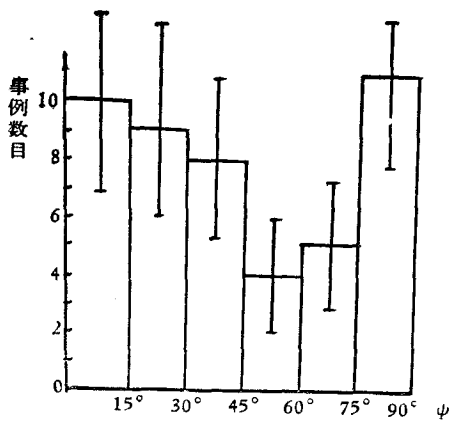


图 10 A^0 产生面与衰变面的角关联

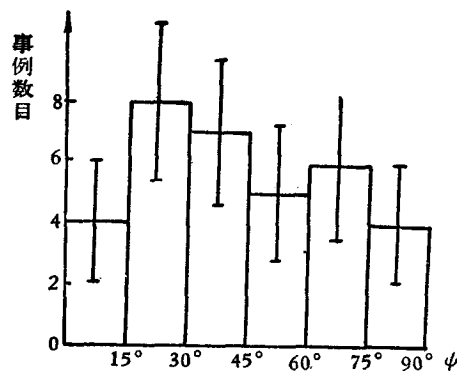


图 11 A^0 产生面与衰变面的角关联

合于均匀分布。

θ^0 ：由 34 个 Pb 板中产生的 θ^0 的关联角分布如图 11。 ψ 在 $0-30^\circ$ 间 12 个，在 $31-60^\circ$ 12 个，在 $61-90^\circ$ 10 个；合于均匀分布。Al 板中出来的 5 个 θ^0 略有不同， ψ 在 $0-30^\circ$ 间有 4 个， ψ 正好为 60° 时有 1 个，似乎角度小的较多。但统计数字太少。

(iii) 討論 从我們的数据看來， A^0 ， θ^0 的自旋都不大于 $\frac{1}{2}$ ，或者在产生时不发生极化。但是 Al 中产生 θ^0 关联角有小的傾向，不能肯定在輕物質中产生的 θ^0 沒有不对称現象。

无论在宇宙綫或加速器的实验中都做了許多关于 θ^0 , A^0 的自旋的工作。結果分歧相当大。

A^0 衰变角 古柏等^[5]的結果，在質量中心系中質子向后比向前的要多得多，他們并且綜合了其他兩組的实验結果^[6,7]，得 36 个質子向前，61 个質子向后（都是宇宙綫工作的結果）。他們認為由统计起伏引起这样的差別只有 1.1% 的机会。假如把我們的数据加进去，则向后与向前的比为 88:65。差別就不如他們所想象的那么大了。這也許是因为事例选择标准引起的差別。假如多选低能質子徑跡就有可能多选出質子在質量中心系向后衰变的事例。古甫达等^[8]的結果也是質子向后的多，而作者也認為可能是由实验选择引起的。加速器上做的工作也有不同結果，輕物質做的（H₂ 泡室）工作結果，向前向后对称，而重物質做的却反而有前、后不对称的現象^[9,10]。后一工作的作者也認為不对称性可能是由觀測偏差引起的。

θ^0 衰变角 古甫达^[8]的結果說： θ^0 的自旋大于零。照我們的結果看，在 θ^0 質量中心系中，衰变角并无显著的不均匀性。由其他的方法考慮也指出 θ^0 自旋应为零^[16]。

ψ 关联角 过去开始用扩散室做奇異粒子时，認為在产生面与衰变面之間有强烈的角关联^[11,12]。但是在以后气泡室所做的工作中得到均匀分布的結果^[13]。宇宙綫工作中也有不同結果；德意志曼等^[14]解釋为产生时有角关联，但在重核中破坏了。

其他数据 最近在加速器上工作的泡室研究組又研究了質量中心系中質子方向与入射 π 粒子束的交角关联。有一組^[9]得 A^0 自旋为 $\frac{3}{2}$ ；另一組^[15]得 A^0 自旋为 $\frac{1}{2}$ 。

由上述各种数据可以看出，有关 A^0 , θ^0 自旋的問題尚未最后定案。从现有的数据比較，都支持自旋不大于 $\frac{1}{2}$ 的假設，我們的数据也支持这种假設。

(2) 由 A^0 衰变中的宇称不守恒引起的不对称系数 γ 假如 A^0 自旋为 $\frac{1}{2}$ ，衰变时宇称不守恒，则可以利用一种角分布求得极化程度与宇称不守恒引起的不对称系数^[16]。取 ζ 为产生面法綫 $\mathbf{P} \times \Delta_0$ 方向与質量中心系中質子的方向的夾角。 \mathbf{P}, Δ_0 分别为核作用初級粒子与 A^0 粒子的飞行方向。角分布微分譜应为： $N(\zeta)dw_\zeta \propto (1 - \bar{P}\gamma \cos \zeta) dw_\zeta$ ，取近似

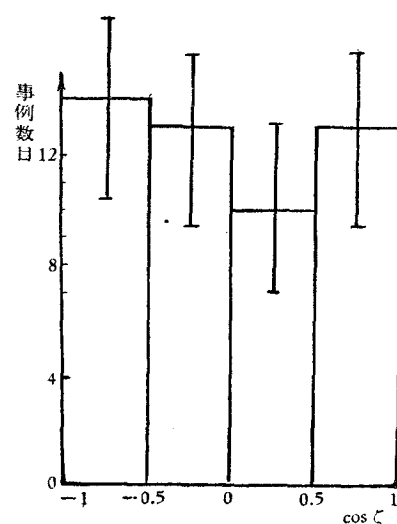


图 12 $\mathbf{P} \times A^0$ 与質量中心系中質子方向的交角分布（鉛中产生的 A^0 ）

值 $\bar{P}\gamma = \frac{3 \sum_{i=1}^N \cos \zeta_i}{N} \pm \sqrt{\frac{3}{N}}$, 其中 \bar{P} 为 Λ^0 产生时在 $\mathbf{P} \times \Lambda_0$ 方向的极化程度, γ 为 Λ^0 衰变时的不对称系数。因此测量 ζ 角度分布可以求出有关超子衰变中的宇称不守恒性质。

我們測量了 ζ 角分布。由 Pb 板中产生的 Λ^0 的 ζ 角分布如图 12。由图可見, 虽然 $\cos \zeta$ 为負值的事例較多(共 27 个負值, 22 个正值), 但在誤差範圍之内可以看作对称分布。計算結果: $\sum_{i=1}^{49} \cos \zeta_i = -0.71$, 所以 $\bar{P}\gamma = 0.04 \pm 0.25$ 。在 Al 板中产生的 8 个 Λ^0 事

例中, $\cos \zeta$ 为正值的 2 个, 負值的 6 个。 $\sum_{i=1}^8 \cos \zeta_i = -1.62$, 得 $\bar{P}\gamma = 0.61 \pm 0.61$ 。有明显的不对称性, 但統計起伏很大, 在誤差範圍之内也可以講它是完全对称的。

从我們的数据看, 最好解釋為: 在 Λ^0 产生时几乎完全极化于 $\mathbf{P} \times \Lambda^0$ 方向, 衰变时宇称不守恒, 不对称系数大。但是因为 Λ^0 产生于原子核中, Λ^0 受其他核子散射会失去极化。因此在 Al 中还能看出不对称的倾向, 而在 Pb 核出来的 Λ^0 則完全退极化了。(我們看到的 Λ^0 中有一部分由 $\Sigma^0 \rightarrow \Lambda^0 + \gamma$ 及 $\Sigma^- + P \rightarrow \Lambda^0 + n$ 或 $\Sigma^+ + n \rightarrow \Lambda^0 + P$ 引起, 这部分 Λ^0 諸該是不极化的。这也会抵消不对称的倾向。)

这个結果与其他工作組所得的大致相同。在宇宙線工作中还没有討論过这个问题。加速器工作中对重物質來講 $\cos \zeta$ 对称分布^[10]对輕物質來講則有显著的不对称值。埃斯勒等^[17]得 $\bar{P}\gamma = 0.40 \pm 0.11$, 萊普勒等^[9]得 0.5。最近有实验得 $\bar{P} > 0.85$ ^[18]。理論計算結果表明, $|\bar{P}|$ 应与 $|\gamma|$ 等值, 并等于 0.89^[19]。

(3) 动量分布与产生角分布

(i) 动量分布 图 13, 14 是 Pb 板中产生的 Λ^0 和 θ^0 的动量分布。画有斜線的部分为实际觀察到的事例, 空心部分为可見几率修正 [見第二节 (6) 242 頁] (乙組数据)。由图可見, Λ^0 的动量分布在 0.2—0.6 Bev/c 的范围内呈现显著的峯值, 几乎不存在高能

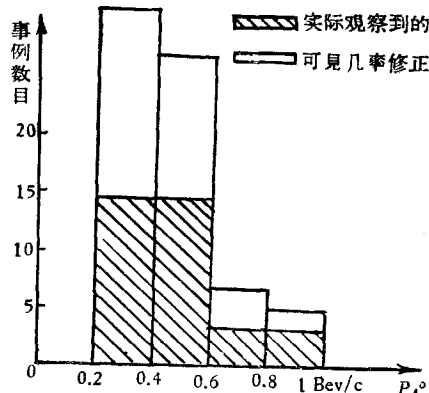


图 13 Pb 中产生的 Λ^0 动量分布

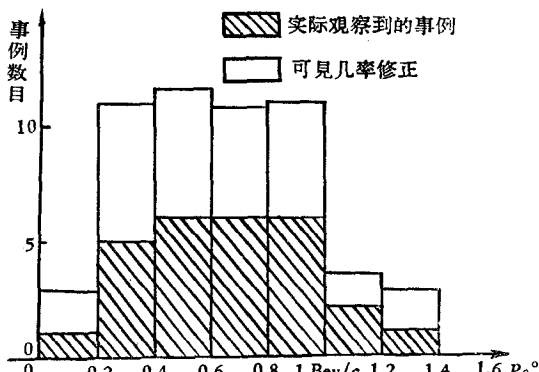


图 14 Pb 中产生的 θ^0 动量分布

量的 Λ^0 . θ^0 的分布則不同, 在 0.2—1 Bev/c 的事例較多, 但整个說来峯值較緩和, 平均动量較 Λ^0 高許多。

Al 板中产生的 Λ^0 中有 6 个在 0.2—0.6 Bev/c 间, 3 个在 0.6—1.1 Bev/c 间。Al 板中产生的 6 个 θ^0 都在 0.6 Bev/c 以上。

動量分布受可見几率的影响比較大，与選擇事例的标准关系也大。因此分布图中沒有包括甲組数据。照甲組数据看來， A^0, θ^0 的動量分布大体上与图 13, 14 相同。 θ^0 的動量分布更偏向高能部分。

我們考慮了可見几率与事例選擇、 $\alpha - \epsilon$ 分类法对動量分布的影响，我們取一种典型几何位置：即 V^0 沿飞行方向前进，可經過兩块金屬板然后出照明范围，飞行方向与金屬板垂直。在这种条件下潛長一定，我們計算了不同能量的 A^0, θ^0 粒子的可見几率(見图 15)，图中 w 为可見几率分布。几何条件如本文所述。曲綫按 A^0 所做，若用于 θ^0 則動量坐标應乘 1.3 倍。

J_{θ^0}, J_{A^0} 代表 θ^0, A^0 粒子衰变后在實驗室系統中夾角($\varphi_1 + \varphi_2 > 15^\circ$)的几率。凡夾角小于 15° 的事例我們未进行分析。

由图可見， w 在 P_{A^0} 約 450 Mev/c (或 P_{θ^0} 約 600 Mev/c) 时最大。但往高能延伸时下降較慢，到 3 Bev/c，几率尚有极大时的一半(0.30)。由此估計 A^0, θ^0 動量分布的情况不会受可見几率影响太大。

由图中 J_{A^0} 的曲綫可見，在 A^0 動量 > 1 Bev/c 以后，衰变徑跡夾角小于 15° 的事例所佔比重逐漸增加。因为只有張角大于 15° 才进行分析，高能 A^0, θ^0 (大于 3.5 Bev/c) 不可能进行測量分析。又高能量 A^0, θ^0 衰变时用 $\alpha - \epsilon$ 方法很难区分。这两种效应也将降低動量譜中的高能部分。在图 13, 14 所代表的乙組数据中共包括 6 个 A^0, θ^0 不可能区分的事例，包括 13 个夾角小于 15° 的事例 [見表 3 及第三节 (6)]。而图中共包括 34 个 A^0 ，27 个 θ^0 。所以这两种效应不可能改变動量譜的基本特征。

从以上的考慮我們認為：在 V^0 粒子产生时動量分布是有不同的。 P_{A^0} 在 200—600

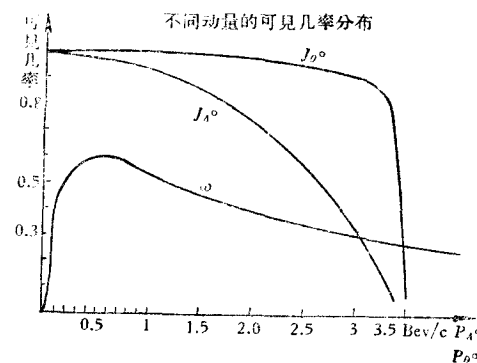


图 15 不同動量 V^0 的可見几率分布

表 3 乙組数据中 V^0 粒子分类

	总数 ⁽¹⁾	已經 分类者			未 能 分类者			反常 ⁽²⁾
		A^0	θ^0	成对出现	張角 $< 15^\circ$	A^0, θ^0 都合 ($\alpha - \epsilon$ 法)	其他原因 ⁽³⁾	
Pb	96	31 (63.3)	23 (45.0)	4	13	6	15	8
Al	24	9 (17.4)	6 (10.8)	1	2	2	3	2

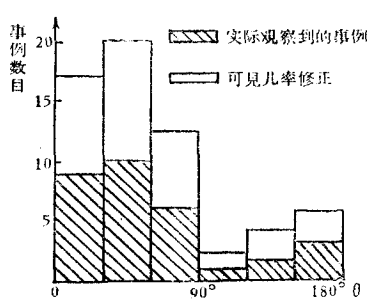
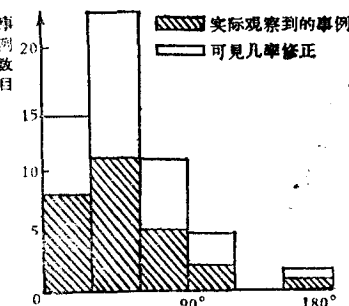
括号內为經過可見几率修正后的数字。

- (1) 总数与表 1 略有不同。这里我們沒有选用在最下面一块鉛板中产生的 V^0 ，因为它们的探测几率、照相質量都不相同。往往歧变較大，徑跡游离度也較難估計。
- (2) 這项包括的 V^0 大多数因为 V^0 徑跡質量不夠好而未能測量、計算、分析者；如徑跡向前后方向走者；如歧变大者；如 V^0 徑跡与其他徑跡重合者等。
- (3) 在反常項中真正屬於反常衰变的所佔比例不大。其中大部分誤差較大。有一些反常事例可能由产生点定錯而引起。

Mev/c 之内特多。 P_{θ^0} 的峯值較緩和，在 0.2—1 Bev/c 范圍內多，高能部分較 A^0 多，但是实际产生 A^0 的動量不会如图 13 所示在高于 1 Bev/c 后就完全切断。

(ii) 产生角分布 Pb 中 Λ^0, θ^0 的产生角分布如图 16, 17。 Λ^0, θ^0 的分布大致相同。在向后方向 Λ^0 較多, 但並不顯著。甲組數據未統計在內, 整的趨勢相同。

Al 中產生的 Λ^0, θ^0 也未統計在內。8 個 Λ^0 中有 1 個向後 ($\theta > 90^\circ$)。6 個 θ^0 產生角都小於 60° 。

图 16 Pb 中 Λ^0 产生角分布图 17 Pb 中 θ^0 产生角分布

(iii) 討論 假如 Λ^0 与 θ^0 是在核作用时协同产生的, 而且只产生这二粒子, 并且角分布均匀, 則 Λ^0, θ^0 在實驗室的平均動量應該相近。高能量的 Λ^0 不應該比 θ^0 少。从我們的實驗数据来看, Λ^0 的動量显著較 θ^0 慢, 角分布也是 Λ^0 向后的比 θ^0 向后的多。因此可以推測产生機構并非完全均匀分布(即 S 波型), 而 Λ^0 向后多, θ^0 向前多。与加速器所得結果相同^[20, 21]。

(4) 寿命 关于 Λ^0 与 θ^0 的寿命已經有許多工作发表。最近的結果中 Λ^0 寿命有較大的分歧^[18]。

我們用的計算方法如下: 設第 i 個粒子的可見率為 w_i [參看第二節(6)及圖 7]。 N 個粒子衰變時間各為 t_i 的總率應為

$$P = \prod_{i=1}^N e^{-t_i/\tau} \frac{\Delta t_i}{\tau} / w_i,$$

由

$$\bar{\tau} = \frac{\sum t_i}{N} + \frac{1}{N} \sum \frac{\partial}{\partial \lambda} \ln w_i$$

其中 $\lambda = \frac{1}{\bar{\tau}}$, $\bar{\tau}$ 为平均寿命。標準誤差

$$\frac{1}{(\Delta \lambda)^2} = -\frac{\partial^2 \ln P}{\partial \lambda^2} = N \bar{\tau}^2 + \sum \frac{\partial^2}{\partial \lambda^2} \ln w_i.$$

由这样計算的結果, 我們对甲、乙二組数据綜合得

$$\begin{aligned} \bar{\tau}_{(\Lambda^0)} &= (3.89 \pm 0.63) \times 10^{-10} \text{ 秒} && \text{共 62 事例,} \\ \bar{\tau}_{(\theta^0)} &= (0.86 \pm 0.23) \times 10^{-10} \text{ 秒} && \text{共 42 事例.} \end{aligned}$$

在計算過程中我們用了一個近似：即在最後求數字時 $e^{-L'/\tau}$ 中的 τ 以 $\tau_0 P_{V^0} / M_{V^0,0}$ 代入（因為指數中含有未知數 τ 時，數據無法求解）。 τ_0 取加速器中所得的數字^[24]。 $\tau_{0(A^0)} = 2.77 \times 10^{-10}$ 秒， $\tau_{0(\theta^0)} = 0.95 \times 10^{-10}$ 秒。對平均壽命講， $\frac{1}{N} \sum \frac{\partial}{\partial \lambda} \ln w_i$ 一項所佔比重約 10%，而 τ_0 與 $\bar{\tau}$ 之差對 A^0 及 θ^0 分別為 26% 及 10%；因此我們估計因為以 τ_0 代替指數中的 τ 引起的誤差小於 2—3%。對於所給的標準誤差中也有相當影響，誤差值可能有 10% 左右的錯誤。取用 τ_0 的方法並不是絕對的，選用我們自己的一次近似數值 $\frac{\sum t_i}{N}$ 也可以。

一般用雲室求壽命時都以 V^0 開始進入照明區的時間為零點計算。我們都以核作用發生點算起。原則上沒有多大區別。我們覺得在我們的情況下，自 V^0 真正開始誕生時算起比較好。

我們所得的壽命與以前實驗所得者相合^[18, 22]。值得注意的是：宇宙線實驗所得的結果 A^0 壽命幾乎都在 2.8×10^{-10} 秒以上；我們同實驗室的磁雲室所得的結果為 3.2×10^{-10} 秒^[23]。而加速器工作結果中有的相同，但是有的組求得的壽命竟低至 $(2.1-2.3) \times 10^{-10}$ 秒，而且統計事例數字都相當大；差別不能解釋為統計起伏^[18]。

(5) A^0, θ^0 比例，對產生問題

乙組數據的詳細分類見表 3。Pb 中產生確定的 A^0 31 個、 θ^0 23 個。 $N(A^0):N(\theta^0) \sim 1.4$ 。加上可見几率修正後各為 63.3 及 45.0 個，其比例仍為 1.4。Al 板中產生確定的 A^0 9 個、 θ^0 6 個。 $N(A^0):N(\theta^0) = 1.5$ （加修正後為 1.6）。比例與 Pb 中產生的 V^0 相似。這個結果與古柏等^[6]所得不同。古柏等得 $N(A^0):N(\theta^0)$ 在 Cu 與 C 中分別為 1 及 0.5。雖然我們所得到的數據數量少、統計起伏大，但是這結果說明 Pb, Al 中產生的 A^0, θ^0 比例並無顯著分歧。這個結果比較容易理解。

我們的結果是 A^0 數目大於 θ^0 的數目，這和一些宇宙線實驗相同，但和另一些實驗不同。如古甫達^[8]所得的結果與本研究室的磁雲室工作^[23]中都是 θ^0 的數目比 A^0 多。我們只选取了在雲室內 Pb, Al 板中產生的 V^0 事例，板子也比較薄，選擇的 V^0 能量比較低，因此相信我們的數據不應包括太大的偏差。

根據奇異數守恆的規律，超子應該和重介子協同產生。但是在宇宙線的實驗中，成對出現的 V^0 事例很少，而 A^0 與 θ^0 的數目也不相等。這個現象可以用下面所講的方法解釋。

按照蓋爾曼“混合粒子”理論，中性重介子應分為短壽命 θ_1^0 及長壽命 θ_2^0 ；長壽命的 θ_2^0 在雲室中很少衰變，即使衰變也因為是三體衰變難于辨認。假設重介子產生時，帶電與中性的各佔一半 (K^+ 佔一半)，則總共 4 個重介子中有一個 θ_1^0 。而衰變為正、負 π 介子的又只有其中的 86%^[24]。總的結果是產生 4.6 個重介子中有一個是按照可見的 θ^0 方式衰變。

A^0 的情況有些不同。超子中分 $\Sigma^+, \Sigma^-, \Sigma^0, A^0$ 四種； Σ^0 又衰變成 A^0 。按照加速器的數據， A^0 的產生截面比 Σ^0 的截面還大一些^[21]。因此超子產生後有一大半作為 A^0 進入雲室。 A^0 中有 $1/3$ 按照 $A^0 \rightarrow n + \pi^0$ 衰變，實驗上探測不出^[24]。因此平均來講，每產生 3 個超子就有一個以上可以看見的 A^0 進入雲室。這個比例與 θ^0 不同，其相差倍數為 1.5，恰好足以解釋 A^0, θ^0 出現數目的差別。

上面敘述的理由並不严格，許多效應（如 Σ^+ 在核內作用產生 A^0 等）都沒有考慮進去。

但这样考虑定性地解釋 Λ^0, θ^0 比数是可以接受的。

同样按照这个原理可以估計成对出現的几率。当我们看見一个 Λ^0 时，應該同时有一 K 介子产生，照上面的推論，这个 K 介子作为 $\theta^0 \rightarrow \pi^+ + \pi^-$ 衰变的机会只有 $1/4.6$ ，而这种衰变方式在云室中的可見几率平均为 0.50 (θ^0 可見几率的平均值为 0.50)。

假如这种推論合乎事实，我們每看見 9.2 个 Λ^0 應該可以看到一次 Λ^0, θ^0 共同出現。实验結果如表 3。我們一共看到 40 个 Λ^0 ，共五次看到 Λ^0, θ^0 在同时产生，比例約为 8 ± 4 ，与上面的可以符合。

其他一些宇宙綫实验結果大体也相同，即总的 V^0 数与成对出現的比例在 20 左右（包括 Λ^0 及 θ^0 ）^[23, 25]。

(6) Pb 和 Al 中奇異粒子产生截面

如表 4 在 Pb 中共觀察到 3842 个核作用与核散射。与此相应，看到 31 个 Λ^0 事例。

表 4 觀察到的核作用、核散射总数及相应的 V^0 数

	核作用与核 散射总数	强游离次粒 子总数 N_h	最低游离次 粒子总数 N_s	V^0 总数	已經分类的 V^0 事例	未分类的 V^0 事例	Λ^0	θ^0
Pb	3842	8924	5450	96	54	34	31(63.3)	23(45.0)
Al	1782	3197	2203	24	15	7	9(17.4)	6(10.8)

(1) 括号中为按可見几率修正后的事例数目。

(2) 无论核作用总数或 V^0 数目都不包括云室内最下面一块 Pb 板中的事例，以避免发生偏差。

經可見几率修正后为 63.3 个。未分类的事例在 Pb 中佔已分类事例的 63%。我們又粗略地假設这些沒有分类的事例中， Λ^0, θ^0 比例与已分类的 Λ^0, θ^0 比例相同。最后估計在 Pb 中，一共應該产生 103 个 Λ^0 。核作用与核散射的截面应当与几何数值相同^[26]（我們所得 Pb, Al 中的核作用事例总数之比合乎几何截面之比），即 1860 mb。这样得 Λ^0 的产生截面为 50 mb，合每个粒子 0.24 mb；可能誤差为 $\pm 18\%$ 。

用同样的方法推算，在同样的照相期間應該产生 θ^0 73.4 个。得 θ^0 的产生截面为 35.6 mb，合每个核子 0.17 mb；可能誤差为 $\pm 21\%$ 。

Al 中产生的 V^0 中未分类的佔已分类的 62.5%，用同样的方法得出在這個期間总共應該产生 Λ^0 28.3 个、 θ^0 17.5 个。Al 的几何截面为 478 mb。所以得 Λ^0 的产生截面为 7.6 mb，合每个核子 0.28 mb；可能誤差約为 $\pm 33\%$ 。 θ^0 的产生截面为 4.7 mb，合每个核子 0.17 mb；可能誤差約为 $\pm 41\%$ 。与 Pb 中所得完全符合。

由上面所得的数据看來，无论 Pb 或 Al 所得 Λ^0, θ^0 的截面都与核子数成正比。与古柏等^[5]和布鲁門非爾得等^[10]所得的結果不同。他們的結果中， θ^0 的产生截面并不与 Λ^0 核子数 A 成正比。

按照上节的考慮方法， θ^0 衰变仅为 K 介子中的 $1/4.6$ 。所以按照我們的数据考慮， K 介子的总产生截面为 0.78 mb/核子，可能誤差約为 $\pm 19\%$ 。对 Al, Pb 都适合。这个結果与加速器工作所得者符合。

(7) 奇異粒子佔核作用次級粒子的比例

由表 4 可見 Pb 和 Al 中所得的核作用与核散射总数及其次級粒子的总数。由这个

数据可得次級粒子與 V^0 的比例如下：

$$\begin{array}{ll} \text{Pb: } & \frac{N_h}{N_{A^0}} = 86.5 \quad \frac{N_h}{N_{\theta^0}} = 122 \\ & \frac{N_s}{N_{A^0}} = 53.0 \quad \frac{N_s}{N_{\theta^0}} = 74.3 \\ \text{Al: } & \frac{N_h}{N_{A^0}} = 113 \quad \frac{N_h}{N_{\theta^0}} = 182 \\ & \frac{N_s}{N_{A^0}} = 78.0 \quad \frac{N_s}{N_{\theta^0}} = 126 \end{array}$$

其中 N_h, N_s 分別代表強游離次級粒子和最低游離次級粒子的總數。

由動量分布中看 [第三節(3)] A^0 峯值為 0.4 Bev/c, 相當於 β 為 0.34; 而 β 為 0.34 的帶電粒子游離度約為 5.5 倍最低游離值。 θ^0 峯值在 0.6 Bev/c 附近, 相當於 β 為 0.78; 而 β 為 0.78 的帶電粒子游離度約為 1.3 倍最低值。由這個數值很容易引起注意, 因為按運動速度的觀點看來, A^0 粒子與強游離粒子即核子相當, 而 θ^0 與最低游離粒子即介子相當。假如按照這樣的觀點看, 似乎在不同的物質中, A^0, θ^0 出現的几率應該分別和 N_h, N_s 成比例, 但是由實驗所得的結果否定了這一點。

由上面所給出的幾種比例數字來看, 無論由哪一種比例出發, Pb 核比 Al 核產生 A^0 或 θ^0 都較為有效, 相差約為 1.5 倍, 幾不和 N_h 或 N_s 成比例。這說明在 V^0 的產生機構不這麼簡單。

曾經有人認為產生 V^0 的機構主要是依靠第一次核作用產生的 π 介子, 由這些 π 介子在同一個原子核內產生 V^0 (實驗已經肯定 π 介子比核子更容易產生奇異粒子)^[21, 27]。這種看法可以解釋為什麼 Pb 核比 Al 核更容易產生奇異粒子 (從 V^0 佔次級粒子的比重看)。這種看法也比較合乎 V^0 粒子產生截面與原子數成比例而不與幾何截面成比例的結果。

(8) 產生奇異粒子的核作用大小

把所有的核作用大小進行統計平均。取 \bar{n}_h 為平均每個核作用發出強游離粒子數, \bar{n}_s 為最低游離粒子數。得到的結果為

$$\begin{array}{lll} \text{Pb} \left\{ \begin{array}{ll} \text{所有核作用平均} & \bar{n}_h = 2.5 & \bar{n}_s = 1.5 \\ \text{有 } V^0 \text{ 的核作用平均} & \bar{n}_h = 3.0 & \bar{n}_s = 1.6 \end{array} \right. \\ \text{Al} \left\{ \begin{array}{ll} \text{所有核作用平均} & \bar{n}_h = 1.8 & \bar{n}_s = 1.3 \\ \text{有 } V^0 \text{ 的核作用平均} & \bar{n}_h = 2.0 & \bar{n}_s = 1.5 \end{array} \right. \end{array}$$

從上述平均數字看, 產生 V^0 的核作用比所有核作用平均所得稍大, 但並不顯著。 V^0 粒子本身未統計在內, 若統計在內, 至少應增加次級數目 2。從這些數字至少可以看出: 入射粒子能量對 V^0 產生截面影響不很顯著。這點和過去的實驗完全相同。

由核作用次級粒子數目估計, 在我們的實驗中, 產生 V^0 的核作用能量約為 2—5 Bev 的範圍內。

四. 結 語

總結上述結果，雖然數據不夠多，但可以定性地給出下面幾條：1. 質量中心系中， Δ^0 ， θ^0 的衰變角分布以及產生面與衰變面的關聯角分布都合乎均勻分布。沒有說明 Δ^0 ， θ^0 自旋大於 $1/2$ 的跡象。2. 由 Pb 中產生的 Δ^0 ， $|\bar{P}\gamma|=0$ ，定不出宇稱不守恆不對稱系數，可能 Δ^0 在 Pb 核中出來時已經退級化了。Al 中出來的 Δ^0 衰變 ζ 角有不對稱現象，但數據太少。3. 由動量分布和產生角分布的情況看，在產生 K 介子與超介子對時，超子多向後去，4. 得平均壽命： $\bar{\tau}_{\Delta^0} = (3.39^{+0.68}_{-0.44}) \times 10^{-10}$ 秒， $\bar{\tau}_{\theta^0} = (0.86^{+0.26}_{-0.16}) \times 10^{-10}$ 秒。5. 得 $N_{(\Delta^0)}$ ： $N_{(\theta^0)} \sim 1.4$ ，Pb 及 Al 中結果相似。可以用協同產生，而超子、 K 介子中 Δ^0 ， θ^0 佔不同比例解釋。用同樣的方法也可以解釋成對出現為什麼特別少。6. 估計整個奇異粒子的產生截面約為 0.8 mb/每核子。對 Pb, Al 都相同。7. Pb 核作用的次級粒子中， V^0 所佔比例較 Al 核作用中所佔比例大。似乎重原子核對 V^0 的產生更為有效。8. 產生截面隨能量的改變不大。

我們研究的核作用能量估計在 2—5 Bev 范圍內。高能加速器的粒子能量已經超過這個範圍。因此想像起來，我們得到的結果應該不會超出加速器工作之外，而實際結果與加速器工作所得結果相符。但是精確度和統計數字則比加速器實驗所得相差甚遠。以後在這個能量範圍內的宇宙線奇異粒子工作可以考慮減少。

本實驗先後由王淦昌、張文裕先生負責指導。蕭健先生、霍安祥同志等經常參加討論。

參 考 文 獻

- [1] 王淦昌、蕭健、鄭仁圻、呂敏，物理學報，11（1955），493；鄭仁圻、呂敏、蕭健、王淦昌，物理學報，12（1956），376；王淦昌、呂敏、鄭仁圻，科學記錄，1（1957），21。
- [2] Podolanski, Armenteros, *Phil. Mag.* 45 (1954), 13; Gayther, *Phil. Mag.* 45 (1954), 570.
- [3] Leighton, Wanlass, Anderson, *Phys. Rev.* 89 (1953), 148.
- [4] Gell-Mann, Rosenfeld, *Ann. Rev. Nucl. Sci.* (1957), 407.
- [5] Cooper, Filthuth, Montanet, Newth, Petracci, Salmeron, Zichichi, *Nuovo Cimento* 8 (1958), 471.
- [6] Bridge, Peyrou, Rossi, Safford, *Phys. Rev.* 91 (1953), 362.
- [7] Fretter, May, Nakada, *Phys. Rev.* 89 (1953), 168.
- [8] Gupta, Chang, Snyder, *Phys. Rev.* 106 (1957), 141.
- [9] Leipuner, Adair, *Phys. Rev.* 109 (1958), 1358.
- [10] Blumenfeld, Chinowsky, Lederman, *Nuovo Cimento* 8 (1958), 298.
- [11] Fowler, Shutt, Thorndike, Whittemore, *Phys. Rev.* 98 (1955), 121.
- [12] Walker, Shephard, *Phys. Rev.* 101 (1956), 1810.
- [13] Budde, Chretien, Leitner, Samios, Schwartz, Steinberger, *Phys. Rev.* 103 (1956), 286.
- [14] Deutschmann, Cresti, Greening, Guerriero, Loria, Zago, *Nuovo Cimento* 8 (1956), 566.
- [15] Eisler et al., *Nuovo Cimento* 7 (1958), 222.
- [16] Lee, Steinberger, Feinberg, Kabir, Yang, *Phys. Rev.* 106 (1957), 1367 [物理譯報，5 (1958), 323].
- [17] Eisler et al., *Phys. Rev.* 108 (1957), 1353. [物理譯報，5 (1958), 412].
- [18] Glasser, 1958 Annual International Conference on High Energy Physics, 265.
- [19] 陳中謨、何祚庥、沈鼎昌、朱洪元，科學記錄，3（1959），31。
- [20] Walker, Progress in Elementary Particles and Cosmic Ray Physics 4 (1958), 73.
- [21] Steinberger, 1958 Annual International Conference on High Energy Physics, 147.
- [22] Thompson, Progress in Cosmic Ray Physics, 3 (1956), 253 [物理譯報, 4 (1957), 195].
- [23] 霍安祥，本期第 219 頁。

- [24] Eisler, Plano, Samios, Schwartz, Steinberger, *Nuovo Cimento* 5 (1957), 1700.
 [25] Trilling, Leighton, *Phys. Rev.* 104 (1956), 1703.
 [26] 呂敏, 科學記錄 3 (1959), 58
 [27] Orear, Proceedings of Annual Rochester Conference, V-16 (1957).

A STUDY OF Λ^0 AND θ^0 PARTICLES PRODUCED IN Pb AND Al

LÜ MIN CHENG JEN CHI LI HO NIAN

(Institute of Atomic Energy Research, Academia Sinica)

ABSTRACT

Two experiments on V^0 particles were carried out with a multiplate cloud chamber during 1955—1957. A total of 550 V^0 particles have been found. 67 Λ^0 and 44 θ^0 particles are classified according the $\alpha-\epsilon$ method. Of them 58 Λ^0 and 38 θ^0 were produced in Pb, 9 Λ^0 and 6 θ^0 were produced in Al. The following results have been obtained: (1) The decay angle in the center of mass system of Λ^0 or θ^0 is uniformly distributed. The correlation angle between the production plane and the decay plane is distributed also uniformly. No information can be obtained that the spin of the V^0 particles are larger than $1/2$. (2) No asymmetry of angular distribution is seen thus showing nonconservation of parity for the decays of the Λ^0 particles produced in Pb. For Λ^0 produced in Al some indication of asymmetry is noted. (3) The hyperon tends to go backward in the associated production process from the consideration of the momentum spectrum and production angular distribution. (4) The following lifetimes are obtained:

$$\tau_{\Lambda^0} = (3.39^{+0.63}_{-0.44}) \times 10^{-10} \text{ sec}, \quad \tau_{\theta^0} = (0.86^{+0.23}_{-0.16}) \times 10^{-10} \text{ sec.}$$

(5) $N_{(\Lambda^0)} : N_{(\theta^0)} = 1.4$. (6) The total cross section for strange particle production is estimated to be of the order of 0.8 mb/nucleon, both for Pb and Al. (7) The Pb nucleus is more effective than the Al nucleus for producing a V^0 particle, when we consider the percentage of the V^0 with respect to the total number of secondary particles.